

図1.1 わが国の地熱発電容量と実績発電量の推移（日本地熱調査会，2002）

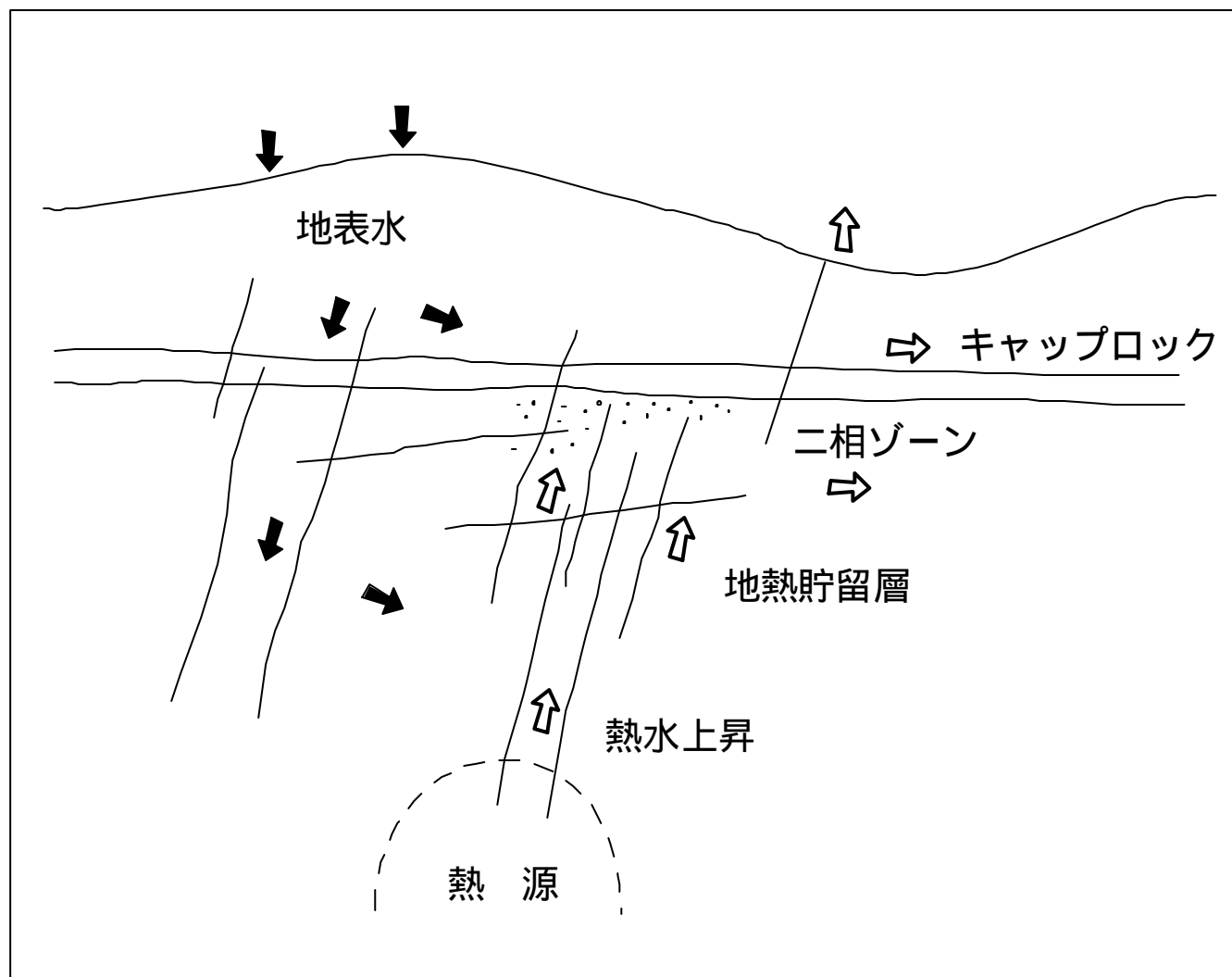


図1.2 地熱貯留層の概念図 (石戸, 1990)

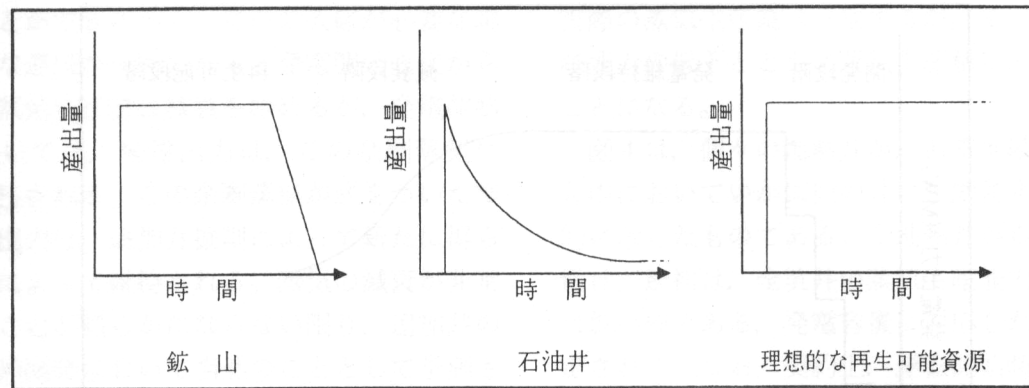


図1.3 3種類の資源のライフサイクル(花野, 2000)

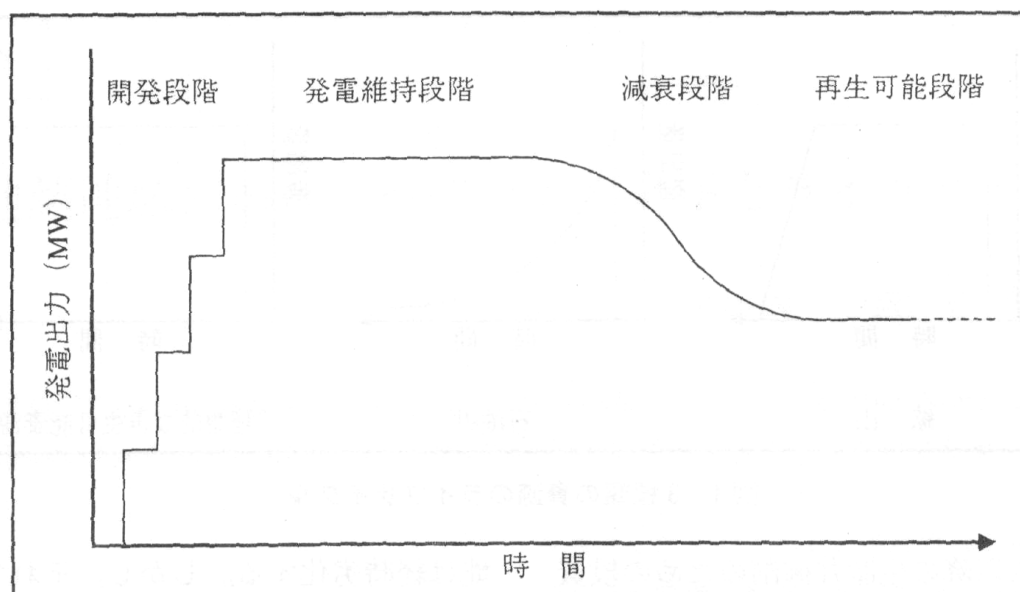


図1.4 地熱資源のライフサイクル(花野, 2000)

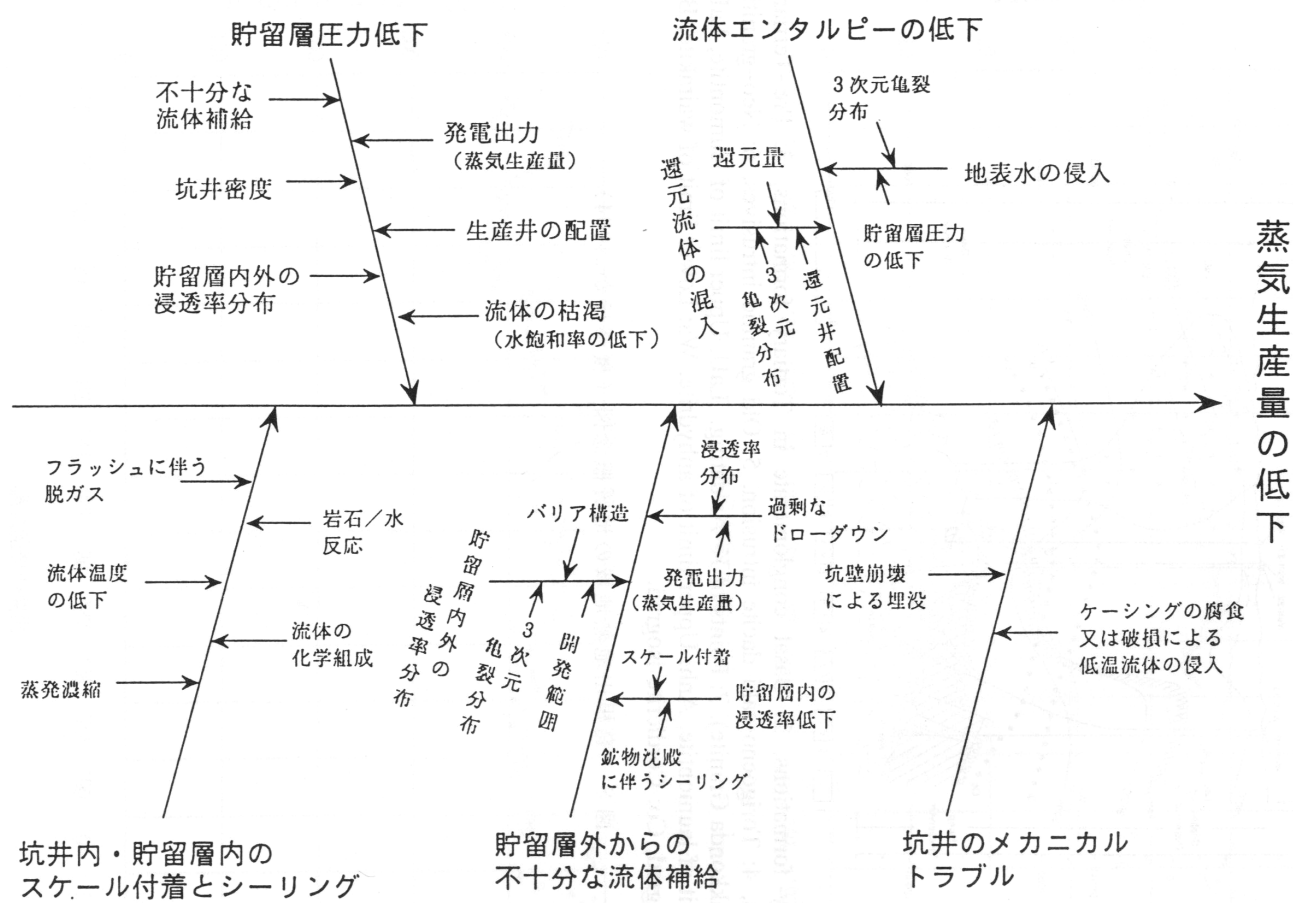
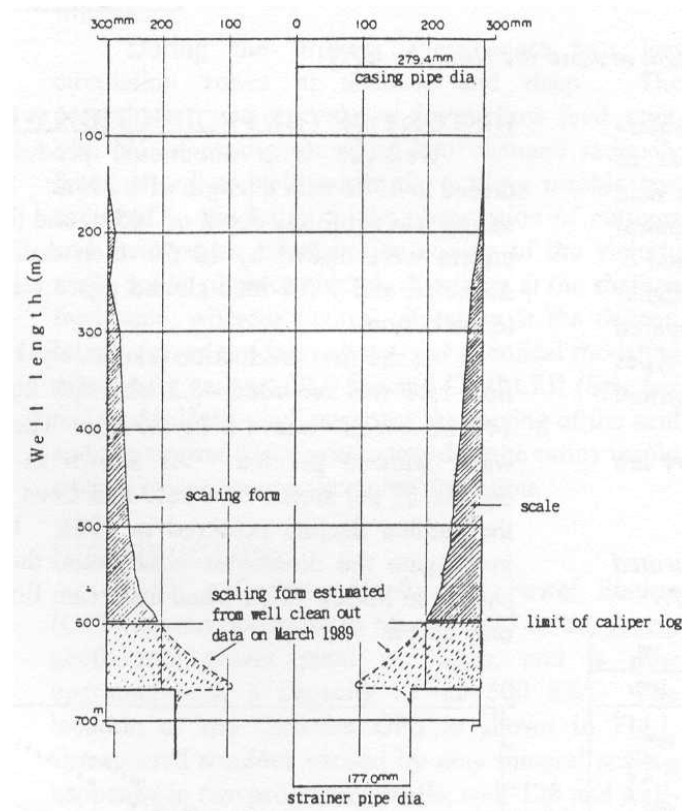
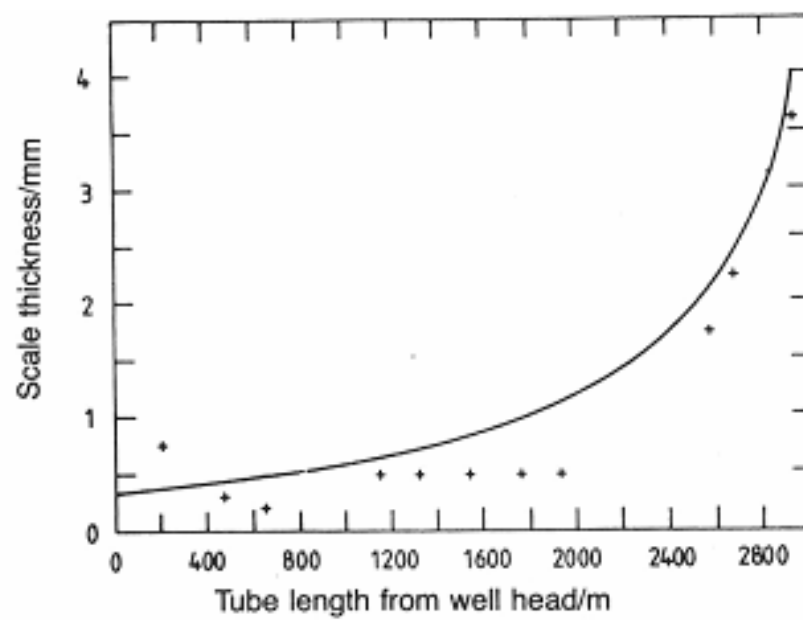


図1.5 蒸気生産量減衰のメカニズム (花野, 1995a)



[A] Ajima et al.(1998) によるスメクタイトスケールの坑内状況 .



[B] Granbakken et al.(1991)によるBaSO₄スケールの実測値 (+印) と計算結果 (曲線) のマッチング .

図1.6 坑内スケールの研究事例 .

I 概念モデル作成と数値化

II 自然状態シミュレーション

III ヒストリーマッチング

IV 生産予測シミュレーション

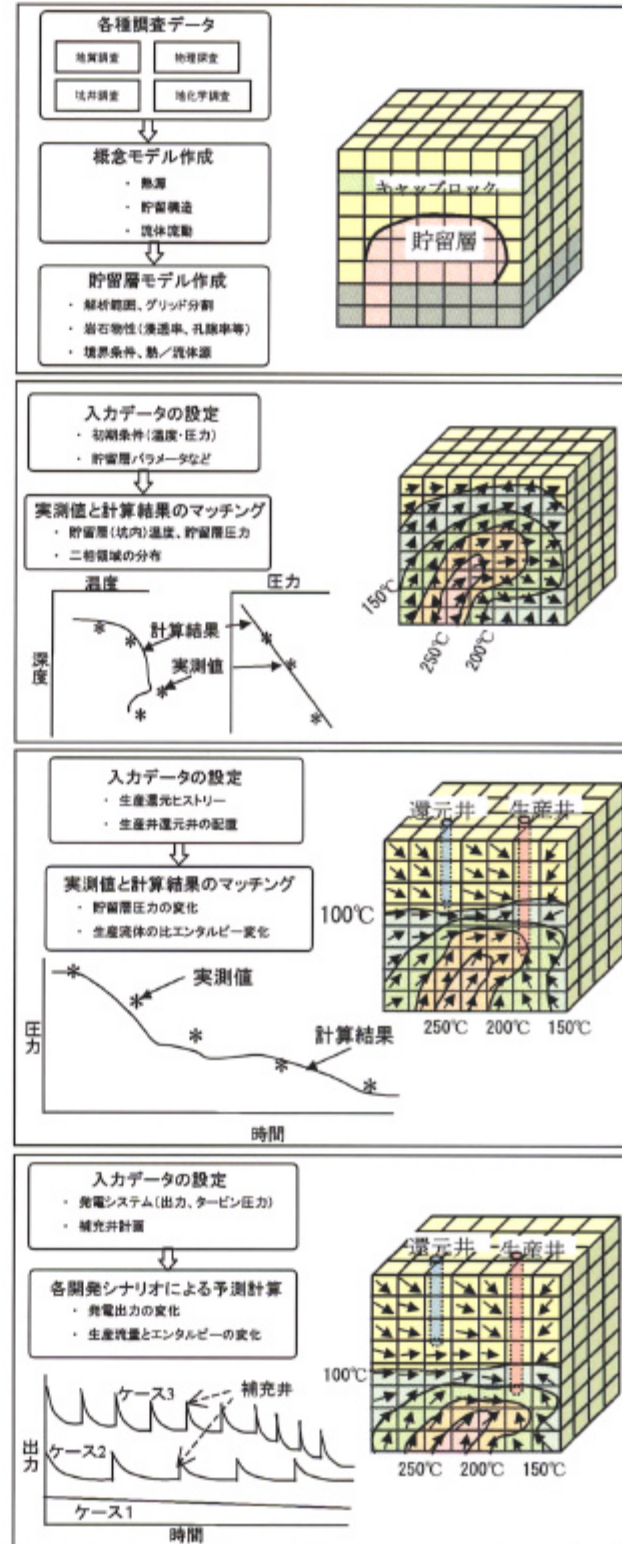
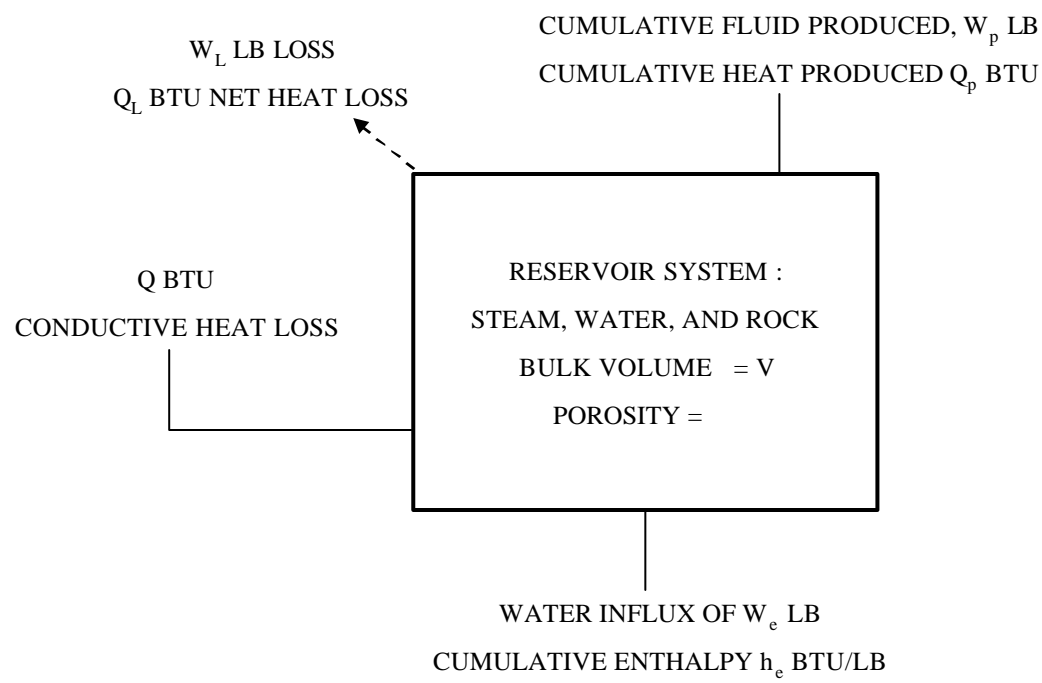
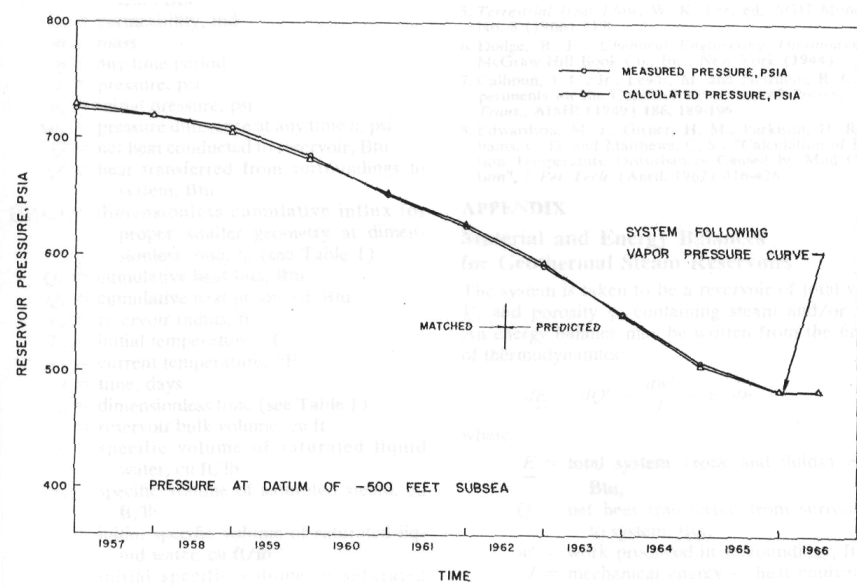


図1.7 貯留層シミュレーションの手順

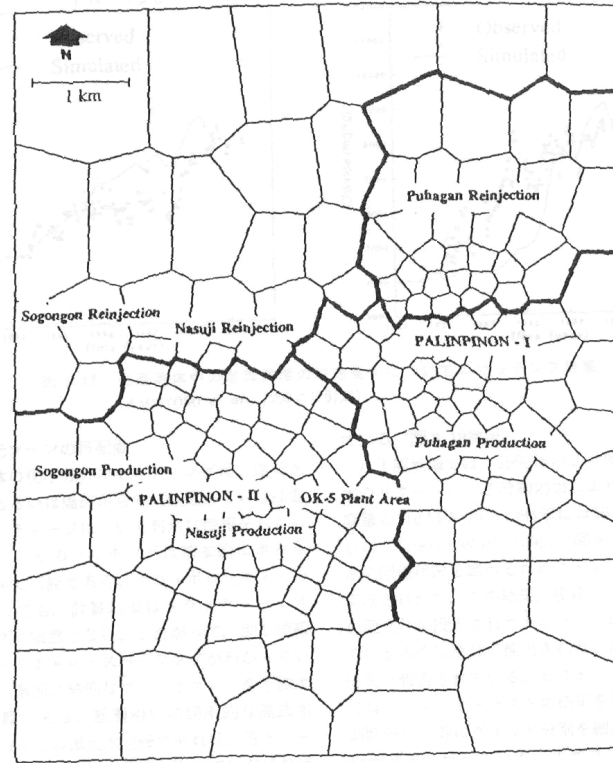


[A] ランプトパラメータモデルの概念図

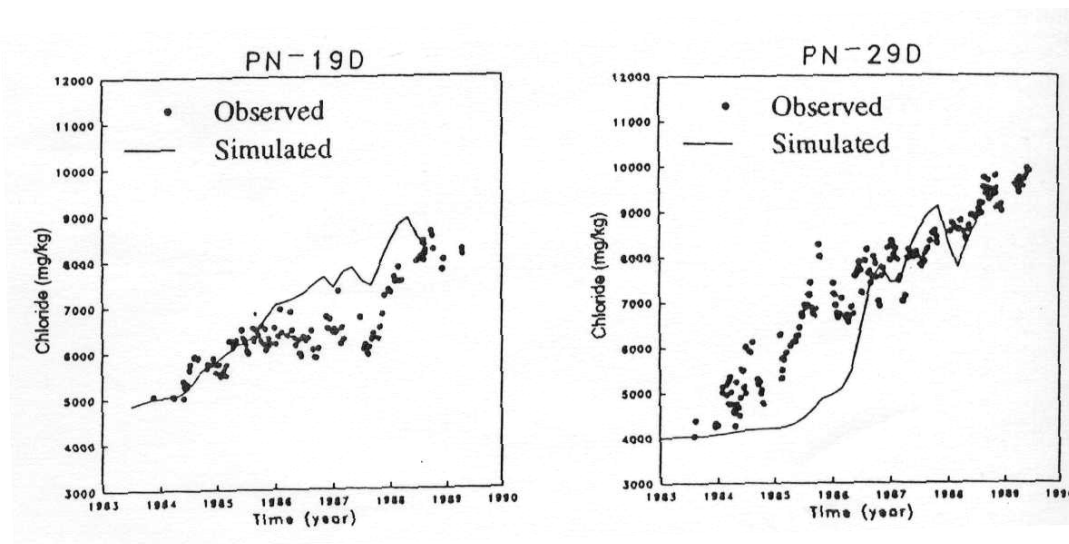


[B] 貯留層圧力の計算結果と実測値のマッチング結果

図1.8 ランプトパラメータモデルの解析事例
(Whiting and Ramey, 1969)



[A] グリッド分割図



[B] Cl濃度の計算値と実測値のマッチング結果

図1.9 分布パラメータモデルの解析事例 (Amistoso et al., 1993)